

東京都立大学工学部 正員 安川 浩
同 上 正員 ○宇井 正和

これは、抵抗線式水位計の出力に対する影響をよびぼす、液体(水道水)の電気伝導率の温度変化と、水位計の相互干渉について検討したものである。

温度特性

抵抗線式水位計の応答は、プローブの両電極間電流に依存するため、導体としての液体の電気的性質および温度変化によって影響をうける。特に液体の電気伝導度 K は、電極間の抵抗 R と、 $R \propto 1/K$ の関係にあるため、水温変化の起らうるような長時間におよぶ水理実験等では、この K の温度変化が水位計の出力変動の最も大きな要因の一つとなる。ここでは、水理実験でよく使われる水道水を例にとって、電気伝導度 K の温度変化を調べると共に、長時間経た後の K について検討をする。

図1は水道水における K の温度変化を実測したものである。水道水によって多少電気的性質が異なるから、全ての水道水の K がこの図に従うとは限らない。しかし測定の結果によれば、その差異は図中のグラフを単に平行移動しただけであり、伝導率 K の温度による変化はほとんど同一の傾向を見せてている。

通常、合金等の伝導率は絶対温度(T)に関係し、 $1/K = \alpha + \beta T$ (α, β は定数)なる関係があるといわれているが、少くとも水理実験を行う範囲内において、 K と水温 t の関係は次式のように線型関係が最もよく実測値と適合するようであり、又実用上からも便利であると思われる。

$$K = \alpha + \beta t \quad (t : 摂氏 温度) \quad (1)$$

図中の実直線は、実測値に対する実験式であり、 a の直線では、 $\alpha = 0.935 \times 10^{-4} \Omega^{-1} \text{cm}^{-1}$, $\beta = 0.03 \times 10^{-4} \Omega^{-1} \text{cm}^{-1}$ である。 b のグラフは一日放置した水道水の伝導率変化である。同一の水道水でも長時間の放置によってその伝導率の値の移動が見られますが、しかしその温度変化の傾向は a のグラフと等しい事を示している。結局、図から明らかのように、例えば 5°C の水温変化がある場合には約 1.5% の出力変化が生じ、そのデータの信頼性に大きく影響をよびぼすことわかる。

相互干渉

複数の抵抗線式水位計を同時に使用する場合、それら水位計相互の影響の問題は常に注意せねばならない事ではあるが、それに關する適切な説明、あるいはその解除法については明らかにされていない。原因としては計測器の不安定や調整不良等があげられるが他に、プローブの両電極間電流の流れ方が他のプローブの電流の影響をうけて変化し、水位計の出力に変化をよびぼす場合も考えられる。ここでは後者、即ち完全に調整された水位計プローブが互いに接近した時の電流の流れ方により、相互干渉を考察する。

1. 水位計プローブの電極間抵抗は、二次元の湧き出し吸い込みの系におけるボテンシャルと同様の考え方によつて求める事が出来る。^{1), 2)} 故に二個の水位計プローブが近接して設置された場合の電極間抵抗の式は次式となる。

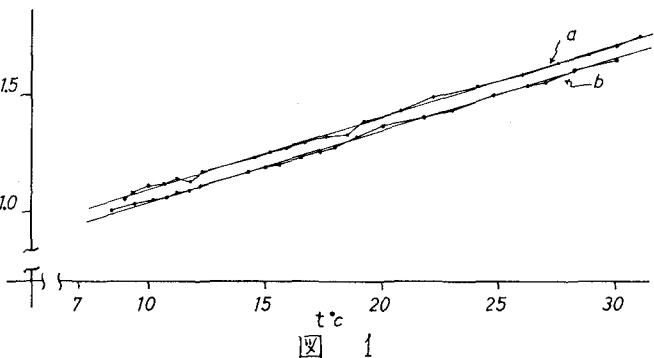


図 1

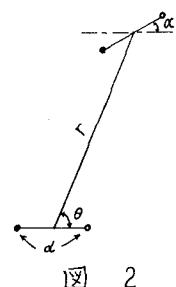


図 2

$$R = \frac{1}{\pi} \ln \frac{d}{\rho} + \frac{1}{4\pi K} \ln \left[\frac{S^4 - 4S^2 \cos(\alpha-2\theta) \{1+\cos\alpha\} + 4\{1+\cos\alpha\}^2}{S^4 + 4S^2 \cos(\alpha-2\theta) \{1-\cos\alpha\} + 4\{1-\cos\alpha\}^2} \right] \quad (2)$$

ここで、 d ：プローブの電極間隔、 ρ ：電極の半径、 S ： r/d 、 θ ：プローブ相互の中心距離、 α ：プローブ面と他のプローブ面のなす角度。 (2) 式の右辺第一項は、他のプローブの影響のない十分広い領域での単位深さあたりの抵抗であり、電極間隔と電極の半径だけに依存するものである。

ところが、オニ項は θ だけ離れて設置された二つのプローブが互いにそのプローブ面(両電極を含む面)を α だけ傾けた場合の抵抗の附加項である。図2参照。つまり他の水位計プローブが近づくと、水位計出力は (2) 式の右辺第二項の量だけ値がずれることを示している。図3は (2) 式において、 θ を $\pi/2$ に固定し、 α を変化させて時の値のそれ方、即ち第一項に対するオニ項の比を S をパラメーターにして $E(S)$ で表わし、円グラフ上にプロットしたものである。それ故各角度 α における E は動径の大きさで示されている。図中 $\pi/2$ より π までの黒くぬられた部分は E が負であることを示す。図によると、 $\alpha=0$ のとき E の値は最大であるが、 α を増して行くと次第に減少し $\alpha=\pi/2$ で0となる。さらに α を増すと E の値は負とがって変化する。これによって、他のプローブの影響をうけないようプローブ面の向き方が存在することがわかる。さらにこの値のそれは $S (=r/d)$ が2の時でも5~6%以内であり、 S が4になると1%程度に減少するため、水位計の干渉の大きさとしては微小であると考えられる。

2. 波の変形あるいは波の回折等の実験では、多くの水位計を用いての測定が必要となるが、次にこのような場合の相互干渉について検討する。水位計プローブを多數設置する方法はそれぞれ目的によって異なりから、一般的とはいえないが、今無限個の、同等の水位計プローブを等間隔に直線状に並べた場合を想定し、さらにこれらプローブの面が互いに平行であると仮定する。図4-a参照。このように連続して水位計の場合の電極間抵抗を求めると、単位深さあたりの抵抗は次式のようになる。

$$R = \frac{1}{4\pi K} \ln \left\{ \frac{\sin \frac{\pi}{S} e^{i\theta} \times \sin \frac{\pi}{S} e^{-i\theta}}{\left(\frac{d}{\rho} \pi \right)^2} \right\}^2 \quad (3)$$

例として、プローブの並ぶ方向とプローブの面が平行($\theta=0$)にした場合、図4-bの R を S を変数にして表わしたもののが図5である。図によれば、 S が大きくなると値のずれ E は急速に減少し実用的には不都合は生じないと思われるが、前記の二個の水位計の場合と比較してかなり大きいようである。そこでプローブの並ぶ方向に対してプローブの面が直交と平行を交互にくり返すように並べてみると、これらの電極によって作られる電位は、互いに直交する水位計プローブに対しても影響をおよぼさない事がわかる。この並び方を採用することで、二倍のプローブ間隔で設置した場合と同様になり、プローブ間の干渉を極力減少させることが出来る。

文献¹⁾：安川、宇井 “抵抗線式水位計プローブと境界値問題” 第3回土木学会関東支部年講。

文献²⁾：安川、宇井 “平行線型水位計プローブの空間的分解能” 第32回土木学会年講。

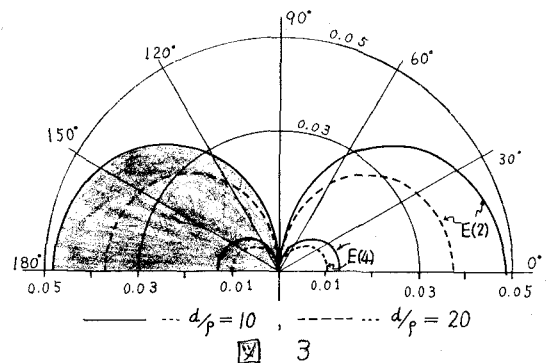


図 3

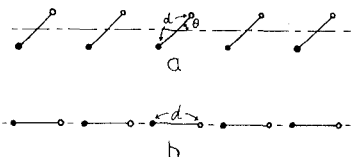


図 4

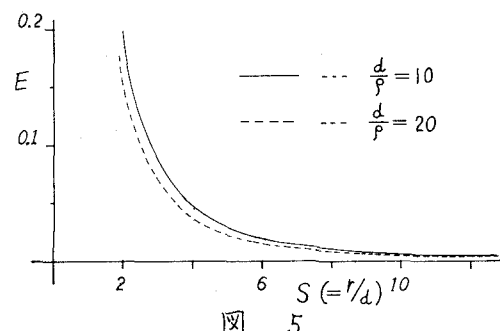


図 5